

# ペトリネットによる知能リンクの動作解析

A Behavior Analysis of an Intelligent Link by Using Petri Nets

宮平知博

Tomohiro MIYAHIRA

中村維男

Tadao NAKAMURA

重井芳治

Yoshiharu SHIGEI

東北大学 工学部

Faculty of Engineering, Tohoku University

## 1. はじめに

最近，“通信”的概念と“処理”的概念を融合した機能を有する知能リンクが提案されている<sup>(1)(2)</sup>。この知能リンクはソフトウェアによる機能供給型汎用パイプライン処理システムである。一方、ペトリネットはその図形表現による視覚的理義の容易さ、解析手段の明確化、階層的記述の可能性等によって、近年になって非同期システムを表現する優れた方法として注目を浴びている<sup>(3)</sup>。本稿では、タイムペトリネットを用いたシミュレーションによって、スループット、滞在時間等の評価基準を中心とした知能リンクの動作解析を行なう。

## 2. 知能リンクとペトリネット

### 2.1 知能リンク

知能リンクは、ホスト計算機A、B間に、伝送路とデータの処理を行なうプロセッサからなるプロセス要素を1次元に並べて構成される。任意のデータはパイプライン処理されながら伝送されるが、その際、各データの処理はデータに付随して供給されるプログラムによって行なわれる。従って、知能リンクはソフトウェアによる機能供給型の汎用パイプラインシステムである。

このように、知能リンクでは各セグメントの処理をプログラムによって与えるため、各セグメントで処理時間が一定とならず、非同期型の

パイプラインとして動作することになる。そのために、図1に示すようにセグメント間にブロッキングが生じ、システムの性能が低下することが予想される。

このブロッキングを避けるための方法として、セグメント間にバッファを設けてセグメントによる処理時間のばらつきを吸収させることが考えられる。それにより、スループットが向上することが見込まれる。

これを次章以降でペトリネットを用いて解析する。

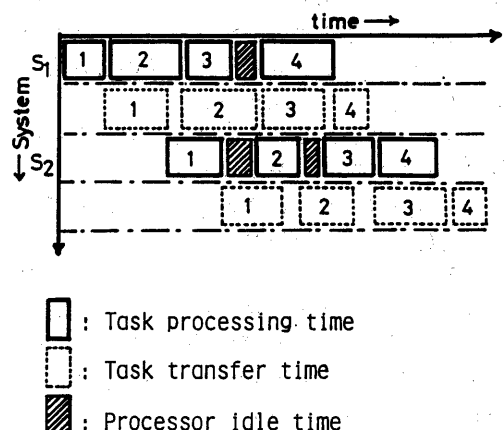


図1. 知能リンクのタスク遷移

## 2.2 ペトリネット

ペトリネットは、1962年に Petri によって用いられて以来、情報の流れの抽象的形式的モデルとして知られている。近年になって、非同期なシステムを表現する優れた方法として注目され、各方面への応用が展開されている。

ペトリネットとは、次の3つの集合の組である。

$$\pi = (P, T, A)$$

ただし

$P$  : 有限個の場所の集合。

$T$  : 有限個の遷移の集合。

$A$  : 有限個の有向枝の集合。各枝は遷移から場所へ、あるいは、場所から遷移へ向かう。

図示する時には、場所は○(円)で、遷移は| (棒)で、有向枝を→(矢印)で表わす。さらに、場所にトークン(図示する場合には・(点)で表わす)と呼ばれる目印を与えることで、ペトリネットで表わされたシステムの状態を表わすことができる。場所にトークンを与えることをマーキングと呼び、マーキングされたペトリネットをマーク付きペトリネットと呼ぶ。

ペトリネットは遷移を発火することによって実行される。遷移は、そのすべての入力場所が少なくとも1つのトークンを持つ時に発火可能となる。遷移が発火すると、その入力場所から1つずつトークンを取り除き、その出力場所にトークンを1つずつ加える。

マーキング $m$ のもとである発火可能な遷移を発火することでマーキング $m'$ が得られる時、 $m$ は $m'$ から直接到達可能であるといふ。 $m'$ が $m$ から直接到達可能であるか、または、 $m$ から直接到達可能なマーキングから到達可能である時、 $m'$ は $m$ から到達可能であるといふ。マーキングを表わす節点を直接到達可能性を示す有向枝で結んだ木を到達可能木と呼び、ペトリネットの解析によく用いられる。

また、どの場所にも1個より多いトークンが存在しない時、そのペトリネットは安全であるといふ。

## 3. タイムド・ペトリネットとタイムペトリネット

ペトリネットは時間に関する記述を含んでいない。しかし、一般のシステムをモデル化する際には時間の概念の導入が望まれる。ペトリネットに時間に関する記述を導入したものに、タイムド・ペトリネットとタイムペトリネットがある。これら2つのペトリネットに関してこの章で述べる。

### 3.1 タイムド・ペトリネット

タイムド・ペトリネットは Ramchandani によって提案されたもので、ペトリネットの各遷移に発火時間を割り当てるものである<sup>(1)(2)</sup>。

タイムド・ペトリネットに於てそれぞれの遷移 $t$ には発火時間 $f(t)$ が割り当てられている。遷移 $t$ が発火可能になると、 $t$ の入力場所のそれぞれからトークンを取り去ることで発火が開始され、このトークンは時間 $f(t)$ の間で留まり、 $t$ の出力場所の各々にトークンを加えることで発火が終わる。そして、発火のそれぞれはそれが発火可能となると同時に開始される。

タイムド・ペトリネットは各遷移の発火が発火時間関数 $f(t)$ によって一意に決まるので、解析が容易であり、実際のシステムの動きをペトリネットの遷移を関連づけて考え易い。しかしながら、発火中にトークンが遷移中に留まるためにペトリネットの到達可能木との対応がつかない上に、次に示すタイムペトリネットと異なり発火の優先権を表わすことはできない。

### 3.2 タイムペトリネット

タイムペトリネットは Merlin によって提案されたもので、ペトリネットの各遷移 $t$ に発火時刻許容範囲 $[t_i^*, t_e^*]$ を与えたものである<sup>(3)</sup>。遷移 $t$ は次の条件(i), (ii)によって瞬間に発火する。

(1) 時刻 $t$ で $t$ が通常のペトリネットで発火可能(これを以下マーキング条件が成立したといふ)である。

(2)  $t$ のマーキング条件が成立した時刻を $t$ とする時、 $t + t_i^* \leq t \leq t + t_e^*$  の範囲である。

タイムペトリネットは、発火時刻許容範囲の

違いによって発火の優先権を表わし得る。しかし、元来の利用が、通信制御手順におけるコマンド不達に対するタイムアウト時間の設定問題、検証問題を目標にしていたので、計算機の動作解析には適用しにくい。

### 3.3 タイムペトリネットの制限

タイムペトリネットの解析を容易にし、次章以降で知能リンクの解析を行なうために、

$$t_i^* = \tau_i^* = f(t)$$

という制限を加える。つまり、遷移 $\tau_i$ はマーキング条件が $f(t)$ 時間成立すると、その瞬間に発火する。この制限を加えたタイムペトリネットを以下で単にTPNと呼ぶ。

タイムド・ペトリネットの遷移は、このTPNの2つの遷移と1つの場所によって図2のように書き直すことができる。従って、すべてのタイムド・ペトリネットはTPNに書き直すことができる。

以下では安全なTPNだけを考える。  
TPNの時点表示(ID)  $d_i$ を次のように2つの関数の組として定義する。

$$d_i = (m_i, w_i)$$

ただし

$m_i$ : 場所にトーケンの有無を対応づけるマーキング関数

$w_i$ : 遷移に発火までに待たなければいけない最少の待ち時間を対応させる待ち時

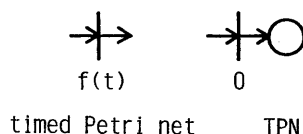


図2. タイムド・ペトリネットとTPNの対応

### 間関数

遷移 $\tau_i$ は発火までに最低 $w_i(t_a)$ 待たなければならぬが、 $w_i(t_a)$ 経ったからといって発火できるとは限らず、その間連続してマーキング条件が成り立っている場合にのみ発火する。

以下のことが成り立つ場合に  $d_i = (m_i, w_i)$  から  $d_j = (m_j, w_j)$  へ直接到達可能であるといふ。

$$(1) \forall p \in P \quad m_j(p) = m_i(p) + \sum_{t \in t_{in}(p)} e_i(t) - \sum_{t \in t_{out}(p)} e_i(t)$$

$$(2) \forall t \in T \quad w_j(t) = \begin{cases} f(t) & t \in \overline{S(m_i)} \cup S(m_i) \\ w_i(t) - \tau_i & \text{その他} \end{cases}$$

ただし、

$$\tau_i = \min_{t \in S(m_i)} w_i(t)$$

$S(m_i) = \{m_i \text{ でマーキング条件が成立している遷移}\}$

$S'(m_i) = \{S(m_i) \ni t, w_i(t) = \tau_i\} \text{なる } t_i \text{。ただし 衝突のある場合はその内の1つ\}}$

$$e_i(t) = \begin{cases} 0 & t \notin S(m_i) \\ 1 & t \in S(m_i) \end{cases}$$

次章で、このTPNによって知能リンクをモデル化する。

### 4. 知能リンクのペトリネットモデル

#### 4.1 バッファのない場合

処理要素が2段の場合の知能リンクのペトリネットモデルを図3に示す。各遷移は次のような意味を持つ。

$t_1, t_2, t_3, t_4$ : ホスト計算機の送信

$t_5, t_6, t_7, t_8$ : 転送終了

$t_9, t_{10}, t_{11}, t_{12}$ : 処理開始

$t_{13}, t_{14}, t_{15}, t_{16}$ : 処理終了

$t_{17}, t_{18}$ : 送信

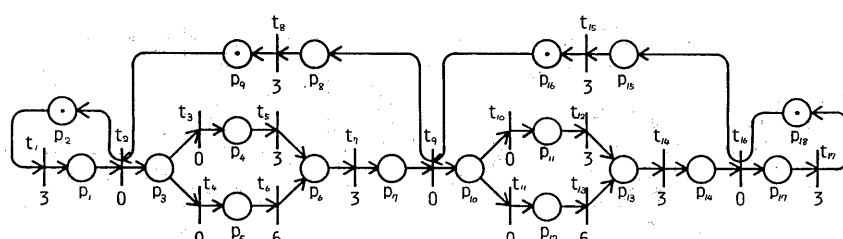


図3. バッファのない場合の知能リンクのペトリネットモデル

$t_8, t_{15}$  : 受信  
 $t_9$  : ホスト計算機の受信  
 また、各場所は次のような状態に対応する。  
 $P$  : ホスト計算機の送信中  
 $P_1$  : ホスト計算機の送信準備  
 $P_3, P_6$  : 処理待ち  
 $P_4, P_5, P_7, P_8$  : 処理中  
 $P_6, P_9$  : 送信準備  
 $P_7, P_8$  : 送信中  
 $P_9, P_{15}$  : 受信準備  
 $P_{10}, P_{11}$  : 受信中  
 $P_{12}$  : ホスト計算機の受信準備  
 $P_{13}$  : ホスト計算機の受信中

$t_1$ から $t_9$ ,  $t_9$ から $t_{15}$ までがそれぞれ知能リンクの1段に対応する。各段では受信・処理・送信で1つのサイクルをつくっており、受信・送信はそれぞれ前段の送信・次段の受信とタイミングを取り、而終了する。処理は長さの違う2種類があるものとし、その内のどちらか一方が行なわれる。また、各遷移の発火待ち時間は図中のそれぞれの遷移のそばに数字で示してある。

段数が2段より多い場合には、 $t_1$ から $t_n$ までと全く同様の遷移及び場所が対応する数だけ直列に並ぶ。

#### 4.2 バッファがある場合

各段での処理時間のばらつきを吸収させるために、セグメント間にバッファを設けてその効果を確かめる。1単位のプログラム+データを格納することができるバッファを受信の前に1つ置いたシステムを考え、図3と同様に処理要素が2段の場合の知能リンクのペトリネットモデルを図4に示す。

図3に対して新たに加わった遷移及び場所は次のよう意味を持つ。

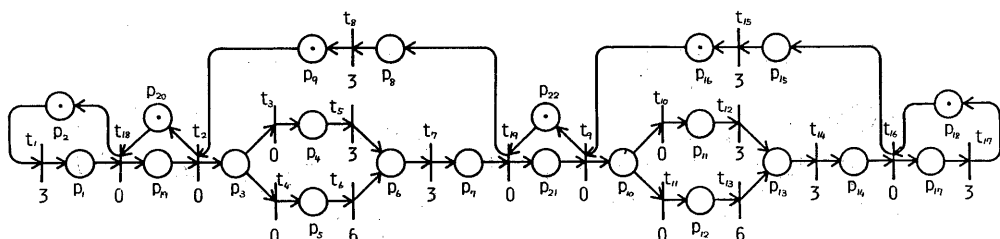


図4. バッファのある場合の知能リンクのペトリネットモデル

$t_8, t_{15}$  : 送信終了  
 $P_9, P_{11}$  : バッファFULL  
 $P_{10}, P_{12}$  : バッファEMPTY

バッファが2つ以上の場合には、バッファ1につき1段当たり2つの場所と1つの遷移が同様に付け加えられる。バッファリングのための時間はかかるものとしているので、サイクルタイム、滞在時間等はバッファのない場合と単純に比較することができる。

#### 5. 解析結果

##### 5.1 2段の場合

2段でバッファのない場合(図3)の到達可能IDのグラフ表現を図5に与える。各IDは単純な数字で代用し、( $m, w$ )の詳細は省略する。本来、各々の枝は発火遷移でラベルづけされれば十分であるが、各IDの内容を省略したので2ノード間の時間もラベルとして各枝に与えてある。

この到達可能IDから1段の平均サイクルタイムを求めるところ。

$9 + 3(P(t_1) + P(t_4)P(t_{10}))$ となる。ただし、 $P(t_1), P(t_{10}), P(t_4)$ はそれぞれ $t_1, t_{10}, t_4$ の発生確率であり、

$$P(t_1) + P(t_{10}) = P(t_4) + P(t_3) = 1$$

である。

また、1段目で受信を完了してから2段目で送信を完了するまでの時間、すなわち滞在時間は、

$$12 + 6(P(t_1) + P(t_4)P(t_{10}))$$

となる。

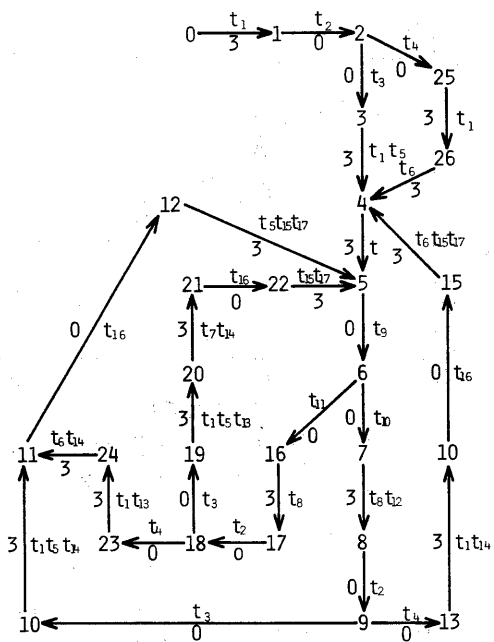


図5. 図3のTPN Nの到達可能ID

### 5.2 シミュレーション結果

2段の場合は前節のように到達可能IDのグラフ表現からサイクルタイム、滞在時間などが容易に導き出せるが、ペトリネットが大規模になると解析が簡単ではない。従って、今回の解析はシミュレーションによって行なった。

シミュレーションは、ペトリネットを直接に実行させること、すなわち、発火可能な遷移を次々と着火せることを基本としている。そして、2つの処理のどちらかの選択は乱数によって行なっている。

#### 5.2.1 バッファのない場合

処理時間の短い方の処理の開始、 $t_3$ 、 $t_6$ …の発生確率の変化による平均サイクルタイムの変化を処理要素の段数を変えて示したのが図6である。各段での処理の発生確率は等しいものと仮定しており、短い処理の発生確率が大きくなればサイクルタイムは当然小さくなる。しかし、段数が増えると、次段以降の処理が長いためのブロッキングや前段の処理が長いことによるマイドル状態などのために、サイクルタイムが長くなる。 $N=1$ の場合がそのような性能の低

下が全くない場合に相当し、それ以上にかかる時間は、各段の処理要素が遊んでいる時間ということになる。

1段当たりの滞在時間を $t_3$ 、 $t_6$ …の発生確率及び段数を変えて示したのが図7である。バッファがない場合には各段のサイクルタイムがそのまま滞在時間に反映されるので、図6と同じ傾向のグラフになっている。しかし、滞在時間には前段の処理が長いことによるマイドル状態の影響は表われないので、サイクルタイムの場合に比べれば $N$ の違いによる差は小さい。

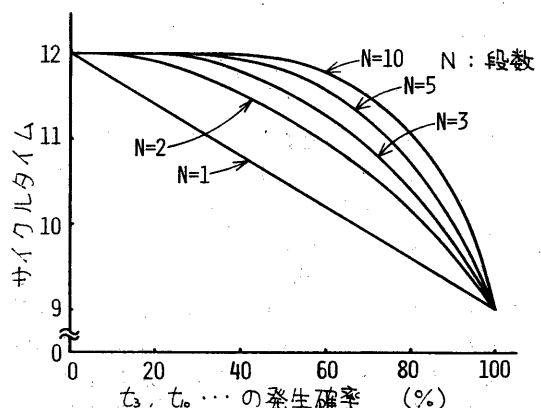


図6. 段数の違いによるサイクルタイムの変化

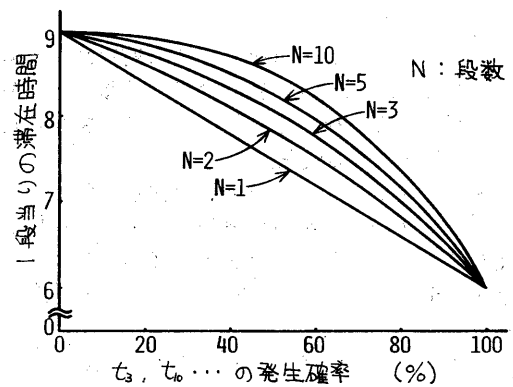


図7. 段数の違いによる滞在時間の変化

### 5.2.2 バッファのある場合

処理要素が5段( $N=5$ )の場合に、各段の間に入れるバッファの数を変えてシミュレーションした結果を、図8、図9、図10に示す。

バッファを入れることによって各段での処理時間のばらつきがある程度吸収されるので、サイクルタイムが減少することが図8からわかる。しかし、バッファを入れることによって滞在時間は大きく増加する。この場合の滞在時間とは、1単位のプログラム+データが1段目で受信されてから5段目で送信が完了するまでの時間である。この滞在時間は、バッファがない場合の2倍近くにもなる。

スループットは

$$\text{スループット} = \frac{\text{処理量}}{\text{サイクルタイム}}$$

として計算し、処理量は1段での処理時間に等しいものとした。バッファによるスループットの改善が見られるが、これはサイクルタイムの改善によるものである。

以上から、各段の間にバッファを入れることでサイクルタイム、スループットが改善されることがわかった。反面、バッファによって滞在時間が伸びることもわかった。しかしながら、サイクルタイムの減少はアイドル時間の減少を意味し、資源の利用率の向上を表わすので、その点からもバッファの導入は有効なものであるということができる。

### 6.まとめ

知能リンクでは各処理要素での処理時間が異なるためにシステムの性能が低下する。その低下の様子、及び処理要素間にバッファを入れた場合の改善を解析した。

タイムペトリネットは時間の記述を含むペトリネットであるが解析が難しいため、制限を加えたタイムペトリネットを用いて知能リンクを簡単にモデル化し、シミュレーションを行なった。

それによって、処理要素間のバッファによりサイクルタイム、スループットが改善され、システムの性能が向上することを確認した。

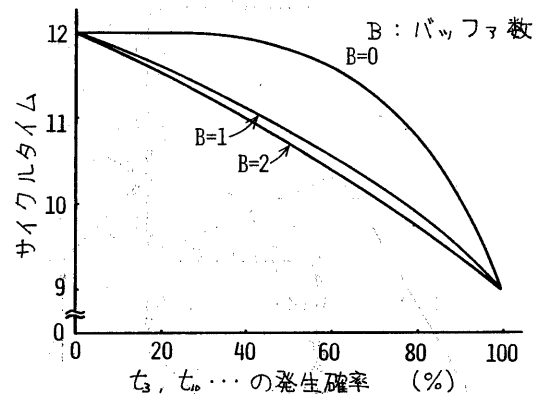


図8. 5段の場合のバッファ数の違いによるサイクルタイムの変化

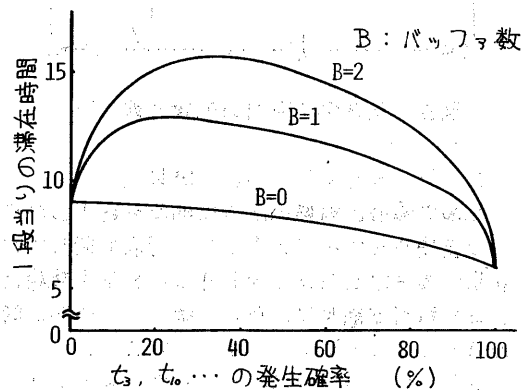


図9. 5段の場合のバッファ数の違いによる滞在時間の変化

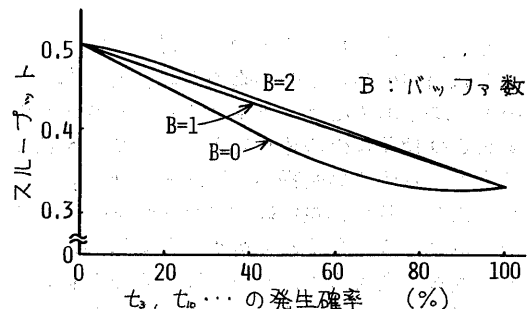


図10. 5段の場合のバッファ数の違いによるスループットの変化

## 参考文献

- (1) 中村維男、重井芳治：“新しい伝送処理システム網の提案とその処理機構”，信学技報，CS78-80 (1978-08)
- (2) Nakamura,t. and Shigei,Y: "An Effect of Employing Intelligent Links into Data Networks," in Proc. Int. Conf. Commun., pp.50.4.1-50.4.5, June 1980
- (3) Peterson,J.L.: Petri Nets, Comput. Surv., Vol.9, No.3, pp.223-252 (Sept. 1977)
- (4) Ramchandani,C.: "Analysis of asynchronous concurrent systems by timed Petri nets", MAC-TR-120, MIT 1974
- (5) Zuberk,W.M.: "TIMED PETRI NETS AND PRELIMINARY PERFORMANCE EVALUATION", The 7th Annual Symposium on Computer Architecture CH1494-4
- (6) Merlin,P.M.: "A Methodology for the Design and Implementation of Communication Protocols", IEEE Trans. on COM Vol.COM-24, No.6 pp.614-621, June 1976